



سنچش از دور

و

GIS ایران



سنچش از دور و GIS ایران
سال سوم، شماره سوم، پاییز ۱۳۹۰
Vol.3, No.3, Autumn 2011

۹۲-۱۰۶

حل هم زمان خوش بندی و تعیین باندهای بهینه داده های فراتیفی با استفاده از الگوریتم بهینه سازی توده ذرات

امین علیزاده نایینی^{*}، فرهاد صمدزادگان^۱، سعید نیازمردی^۲

۱. کارشناس ارشد فتوگرامتری دانشگاه تهران
۲. دانشیار گروه نقشه برداری، دانشگاه تهران
۳. دانشجوی کارشناسی ارشد سنچش از دور، دانشگاه تهران

تاریخ پذیرش مقاله: ۱۳۹۱/۳/۲۰

تاریخ دریافت مقاله: ۱۳۸۹/۱/۱۸

چکیده

امروزه با رشد و توسعه سیستم های سنچش از دور و تولید داده های فراتیفی با قدرت تفکیک طیفی بالا انتظار می رود که شناسایی پدیده ها با دقت بیشتری انجام گیرد و دقت خوش بندی کلاس های پوشش زمینی مشابه افزایش یابد. با وجود چنین پیشرفتی، اطلاعات طیفی با ابعاد زیاد همچنان مسئله ای چالش برانگیز در پردازش و تجزیه و تحلیل داده فلمداد می شود، به گونه ای که با افزایش ابعاد داده، دقت خوش بندی تا یک حد استانه افزایش و سپس کاهش می یابد. بنابراین به منظور انجام خوش بندی مناسب نیاز است تا به طور هم زمان باندهای بهینه این تصاویر نیز انتخاب گردد و یا به عبارت دیگر دو مسئله خوش بندی و انتخاب باندهای بهینه با هم در نظر گرفته شوند. در مقاله حاضر، روش جدیدی برای خوش بندی داده های فراتیفی به وسیله الگوریتم بهینه سازی توده ذرات ارائه شده است که در آن به طور مشترک موقیت بهینه مراکز خوش ها و تعداد باندهای بهینه تصاویر فراتیفی به دست می آید. قابلیت بالای این الگوریتم در جست و جوی سراسری فضای مسئله و حل هم زمان توابع هدف مختلف باعث شد تا از آن برای خوش بندی داده های فراتیفی استفاده گردد. در پژوهش حاضر، پس از بررسی خوش بندی داده های فراتیفی مبتنی بر الگوریتم توده ذرات، روش پیشنهادی خوش بندی بر مبنای حل هم زمان خوش بندی و انتخاب باندهای بهینه معرفی می گردد. مقایسه نتایج به دست آمده برای خوش بندی داده های سنجنده AVIRIS نشان می دهد که نتایج حاصل از الگوریتم بهینه سازی توده ذرات و همچنان روش پیشنهادی به ترتیب با مقدار کاپای ۷۴/۲۲ و ۷۶/۵۷ از دیگر الگوریتم های استفاده شده در این تحقیق بهتر و کارآمدتر است.

کلیدواژه ها: بهینه سازی مبتنی بر حرکت توده ذرات، خوش بندی، تصاویر فراتیفی، انتخاب باندهای بهینه.

* نویسنده مکاتبه کننده: تهران، دانشگاه تهران، پردیس دانشکده های فنی، گروه مهندسی نقشه برداری، تلفن: ۰۹۱۳۳۲۳۰۴۲۱

Email: a.alizadeh@ut.ac.ir

۱- مقدمه

(Pham et al., 2007) و الگوریتم بهینه‌سازی توده ذرات (PSO) (Runkler and Katz, 2006, Omran et al., 2005) به طور موفقیت‌آمیزی به کار گرفته شده‌اند. طبق مطالعات انجام‌شده، در میان الگوریتم‌های فرالبتکاری، عملکرد الگوریتم‌های مبتنی بر هوش جمعی بهتر از دیگران است (Engelbrecht, 2005). اما از بین الگوریتم‌های هوش جمعی نیز الگوریتم بهینه‌سازی توده ذرات برای مسائل با ماهیت پیوسته - نظیر خوشبندی از الگوریتم کلونی زنبور و مورچه‌ها که دارای ماهیت گستته هستند - نتایج بهتری به دست می‌دهد (Runkler and Katz, 2006). علاوه بر این الگوریتم، بهینه‌سازی توده ذرات ابزاری برای بهینه‌سازی جمعیت مبنای است که به دلیل قابلیت بالا در جستجوی سراسری و محلی فضای مسئله، توانایی بالایی در حل مسائل بهینه‌سازی دارد (Kennedy and Eberhart, 1995).

در پژوهش حاضر با تکیه بر الگوریتم بهینه‌سازی توده ذرات، کوششی در مسیر حل مشکل روش‌های خوشبندی سنتی در زمینه داده‌های فراطیفی صورت گرفته است. یکی دیگر از عوامل مؤثر بر دقت روش خوشبندی، تعداد ویژگی‌های مورد استفاده به وسیله آن الگوریتم است. به بیان دیگر، دقت خوشبندی یا گروه‌بندی به انتخاب تعداد ویژگی‌های داده‌ها بستگی دارد (Jensen, 2004) و این مسئله در داده‌های فراطیفی با ابعاد بالا اهمیت ویژه‌ای می‌یابد. بنابراین به منظور انجام خوشبندی مناسب برای این گونه تصاویر نیاز است تا علاوه بر بهبود پارامترهای خوشبندی، باندهای بهینه آنها نیز به وسیله روش خوشبندی برآورد شود.

امروزه با پیشرفت‌های جدید فناوری سنجنده‌های فراطیفی، دریافت تصویر با صدھا باند طیفی با طول موج‌های باریک و پیوسته، امکان پذیر شده است. افزایش باندهای طیفی اطلاعات بیشتری را در زمینه پوشش زمینی و مواد مشابه از لحاظ طیفی فراهم آورده و امکان تشخیص و تمایز عناصر مختلف را با وجود شباهت‌های زیاد ممکن ساخته است (Chang, 2007). استخراج و به کارگیری این اطلاعات در بسیاری از کاربردهای مطرح - از جمله طبقه‌بندی ابر^۱ (Ambroise et al., 2000) و یا تشخیص تغییرات^۲ (Ghosh et al., 2011, Canty and Nielsen, 2006) استفاده از الگوریتم‌های خوشبندی انجام‌پذیر گشته است.

خوشبندی یکی از روش‌های طبقه‌بندی نظارت‌نشده و فرآیندی است خودکار، که در طی آن مجموعه داده‌ای معین به مجموعه‌ای از کلاس‌ها یا خوشبندی تقسیم می‌شود. هدف از طبقه‌بندی داده‌ها در چنین فرآیندی، جداسازی آنها به گونه‌ای است که داده در یک خوش تا حد امکان به هم شبیه و دو داده در دو خوش متفاوت تا حد امکان از یکدیگر متمایز باشند (Xu and Wunsch, 2005).

روش‌های سنتی خوشبندی در داده‌هایی با ابعاد بالا - که از آن جمله می‌توان به داده‌های فراطیفی اشاره کرد - به دلیل پدیدار شدن بهینه‌های محلی^۳ زیاد، با مشکل همگرا شدن به این بهینه‌ها مواجه می‌شوند (Bezdek et al., 2005). یکی دیگر از دلایل عملکرد ضعیف خوشبندی‌های سنتی، حساسیت به مقادیر اولیه و عدم جستجوی سراسری^۴ آنهاست (Bezdek et al., 2005, Bezdek and Hathaway, 1994). برای حل این مشکل، به تازگی الگوریتم‌های تکاملی از قبیل الگوریتم زنتیک (Bezdek and Selim, 1994). الگوریتم بازپخت فلزات^۵ (Hathaway, 1991) و الگوریتم‌های فرالبتکاری مانند الگوریتم کلونی مورچه‌ها (Runkler, 2005)، زنبورها

-
1. Cloud Classification
 2. Change detection
 3. Local optima
 4. Global search
 5. Simulated annealing
 6. Particle swarm optimization

برای خوشبندی برآورد می‌شود (Paoli et al., 2009). لیو و همکاران^۷ نیز روش ترکیبی را برای خوشبندی داده‌های چندطیفی سنجنده MODIS ارائه کرده‌اند روش کار در الگوریتم ایشان به این صورت است که بعد از مجموعه‌ای عملیات پیش‌پردازش نظری حذف نویز بر روی داده‌ها، خوشبندی فازی که به‌وسیله الگوریتم بهینه‌سازی توده ذرات بهینه شده است برای Liu خوشبندی تصاویر این سنجنده استفاده می‌شود (et al., 2008).

هدف از تحقیق حاضر ارائه روشی جدید بر مبنای الگوریتم بهینه‌سازی توده ذرات است که پارامترهای بهینه خوشبندی و تعداد باندهای بهینه را به طور همزمان به دست آورد. از آنجا که روش خوشبندی مورد استفاده بر مبنای روش‌های خوشبندی جزء‌بندی است، پارامترهای خوشبندی، همان تعداد خوشبندی و موقعیت بهینه همان مراکز خوشبندی خواهد بود. از بین دو پارامتر مذکور معمولاً تعداد خوشبندی ثابت در نظر گرفته می‌شود، چرا که با مجھول در نظر گرفته شدن تعداد خوشبندی عدم قطعیت مسئله بسیار بالا می‌رود و در این حالت به طور کلی ممکن است مسئله همگرا نشود (Paoli et al., 2009). بنابراین در این الگوریتم سعی بر آن است تا ابتدا موقعیت بهینه مراکز خوشبندی مشخص شود و سپس تعداد باندهای بهینه تصویر به دست آید.

در مقاله حاضر پس از شرح مختصر الگوریتم بهینه‌سازی توده ذرات، خوشبندی بر مبنای این الگوریتم و روش پیشنهادی ارائه شده است و پس از آن

در سال‌های اخیر تحقیقات گسترده‌ای در خصوص خوشبندی تصاویر فراتلیفی انجام پذیرفته است. برای نمونه بیلگین^۱ و همکاران، الگوریتم خوشبندی فازی را با استفاده ازتابع شباهت جدیدی برای خوشبندی داده‌های فراتلیفی به کار گرفتند. در نوشتار حاضر نیز از تبدیل موجک یکبعدی گسسته برای کاهش ابعاد داده‌ها استفاده شده است (Bilgin et al., 2008). الگوریتم خوشبندی فازی وزن دار را کwoo^۲ و همکاران برای خوشبندی تصاویر فراتلیفی پیشنهاد کرده‌اند که در آن مراکز خوشبندی با میانگین وزن دار خوشبندی جایگزین شده است. وزن خوشبندی در این الگوریتم با استفاده از الگوریتم استخراج ویژگی وزن دار غیرپارامتریک^۳ محاسبه می‌شود (Kuo et al., 2008) کرافورد و لی^۴ الگوریتم سلسه‌مراتبی دو مرحله‌ای را برای خوشبندی داده‌های فراتلیفی پیشنهاد کردند، که در مرحله نخست خوشبندی با ترکیب پیکسل‌های مجاور و در سطح محلی انجام می‌شود و در مرحله دوم با استفاده از الگوریتم خوشبندی سلسه‌مراتبی نتایج Lee and Crawford, مرحله قبل خوشبندی می‌شود (2004). از جمله کارهای انجام شده در تصاویر فراتلیفی با تکیه بر مفاهیم هوش مصنوعی، در ادامه به موارد مهمی اشاره می‌شود. ژانگ و همکاران^۵ روش خوشبندی دو مرحله‌ای را بر مبنای روش بهینه‌سازی سیستم دفاعی بدن انسان، برای تصاویر فراتلیفی و چندطیفی ارائه دادند. نتایج نشان می‌دهد که این الگوریتم در مقایسه با چهار الگوریتم خوشبندی Self Organization Map و fuzzy c-means (SOM) عملکرد بالایی در خوشبندی دارد (Zhong et al., 2006). پاولی و همکاران^۶ در سال ۲۰۰۹ الگوریتمی برای خوشبندی تصاویر فراتلیفی بر مبنای هوش مصنوعی ارائه کردند که در آن با استفاده از روش خوشبندی آماری به طور همزمان پارامترهای خوشبندی، تعداد کلاس‌های داده و تعداد باندهای بهینه

-
1. Bilgin
 2. Kuo
 3. Non-parametric weighted Feature Extraction (NWFE)
 4. Crawford & Lee
 5. Zhong et al
 6. Paoli et al
 7. Liu

مقیاس‌دهی مؤلفه شناختی و اجتماعی در محاسبه سرعت، ρ و مقادیر تصادفی بین صفر و یک هستند. در مسائل بهینه‌سازی مبتنی بر الگوریتم توده ذرات، دو جزء اساسی با نامهای جمعیت وتابع سازگاری وجود دارد. جمعیت شامل تعدادی ذره است که هر یک پتانسیل کامل حل مسئله را دارند. تابع سازگاری نیز میزان مطلوبیت هر ذره را مشخص می‌کند. لازم به ذکر است که برای هر مسئله، نوع تابع del Valle et al., 2008 (al., 2008).

۲-۱- خوشبندی مبتنی بر الگوریتم توده ذرات
همان گونه که توضیحات بخش ۱-۲ نشان می‌دهد، در هر مسئله مبتنی بر الگوریتم توده ذرات دو جزء اساسی وجود دارد که بایستی تعیین گردد. در ادامه، هر یک از این مفاهیم در مسئله خوشبندی توضیح داده خواهد شد. در مفهوم خوشبندی مبتنی بر الگوریتم بهینه‌سازی توده ذرات، هر ذره در بردارنده C، مرکز خوشة است. بدین ترتیب هر ذره را می‌توان به صورت رابطه (۳) نمایش داد:

$$v_i = (v_{il}, \dots, v_{ij}, \dots, v_{iC})$$

که v_{ij} ، نشان‌دهنده زمین بردار مرکز خوشه در زمین ذره در خوشه j است. بنابراین جمعیت، تعدادی از کاندیداهای خوشبندی را برای داده‌های جاری نمایش می‌دهد. از آنجا که مسئله خوشبندی به وسیله الگوریتم بهینه‌سازی توده ذرات با رویکرد حداقل‌سازی حل می‌شود، بنابراین تابع سازگاری هر یک از ذرات طبق رابطه (۴) محاسبه می‌شود.

$$F = 1 - \kappa \text{appa} \quad (4)$$

در رابطه (۴)، \kappaappa مقدار ضریب کاپا است که با توجه به داده‌های واقعیت زمینی، به عنوان دقت برای خوشبندی هر یک از ذرات محاسبه می‌شود.

داده‌ها و پیش‌پردازش آنها و معیارهای ارزیابی‌شان آورده شده است. سپس پارامترهای لازم برای اجرای الگوریتم‌ها و نتایج و بحث در مورد آنها آورده شده است و در پایان نتیجه‌گیری تحقیق آمده شده است.

۲- مواد و روش‌ها

۲-۱- الگوریتم بهینه‌سازی توده ذرات
الگوریتم بهینه‌سازی مبتنی بر حرکت توده ذرات (PSO)، گونه‌ای روش بهینه‌سازی جمعیت مبنای الهام گرفته شده از رفتار جمعی پرندگان یا ماهی‌های کنندی و ابرهارت آن را ارائه کرده‌اند (Kennedy and Eberhart, 1995). در الگوریتم بهینه‌سازی توده ذرات، هر ذره پتانسیل کامل حل مسئله را دارد و هر جمعیت از تعدادی ذره تشکیل شده که بیانگر کاندیداهای مختلف حل مسئله است. فضای راه حل مسئله به عنوان فضای جست‌وجو به گونه‌ای فرمول‌بندی می‌شود که هر موقعیت در فضای جست‌وجو یک راه حل برای مسئله باشد. ذرات برای پیدا کردن بهترین موقعیت در فضا جست‌وجو با هم همکاری می‌کنند تا نهایتاً بر اساس تابع سازگاری مسئله به بهترین جواب برسند. در این الگوریتم هر ذره مطابق با معادلات سرعت و موقعیت اشاره شده در روابط (۱) و (۲) در فضای جست‌وجو حرکت می‌کند (Eberhart and Yuhui, 2001).

$$\text{رابطه (1)}$$

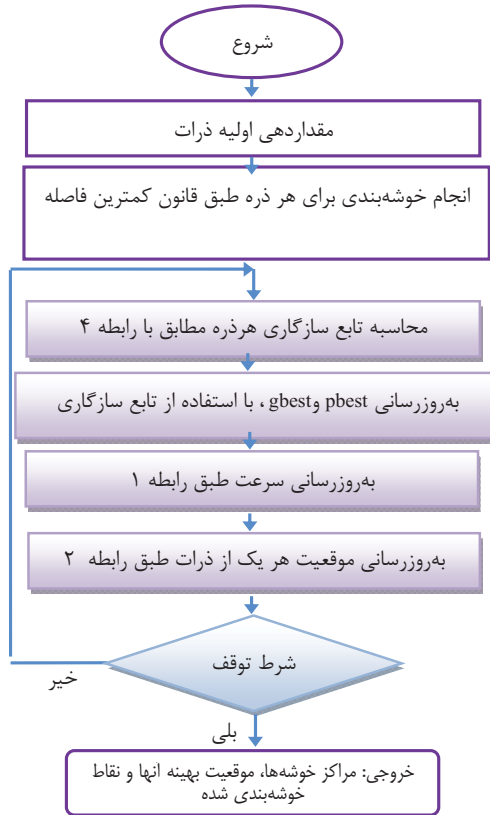
$$V_{id}(t+1) = w V_{id}(t) + c_1 r_1(p_{id}(t) - X_{id}(t)) + c_2 r_2(p_{gd}(t) - X_{id}(t))$$

$$\text{رابطه (2)}$$

$$X_{id}(t+1) = X_{id}(t) + V_{id}(t+1)$$

در رابطه‌های (۱) و (۲) $x_{id}(t)$ و $v_{id}(t)$ به ترتیب موقعیت و سرعت ذره i در زمان t ، $p_{id}(t)$ بهترین موقعیت پیداشده برای ذره i تا به حال و $p_{gd}(t)$ بهترین موقعیت پیداشده برای کل جمعیت است و در تمامی متغیرهای تعریف شده در روابط مذکور، d نشان‌دهنده ابعاد داده است. W نیز وزن اینرسی مقیاس‌دهنده سرعت مرحله قبل، c_1 و c_2 دو ضریب شتاب برای

حل همزمان خوشبندی و تعیین باندهای بهینه داده‌های فراتلیفی با استفاده از الگوریتم بهینه‌سازی توده ذرات



شکل ۱. نحوه عملکرد خوشبندی PSO

P:	موقعیت مراکز خوشبندی	
	$m_{i1} \ \ m_{i2} \ \ \dots \ \ m_{ij} \ \ \dots \ \ m_{ik}$	$I \ \ 0 \ \ \dots \ \ I$
	$k \times F$	F

شکل ۲. نمایش یک ذره در حل همزمان خوشبندی و انتخاب باندهای بهینه

اگر k مرکز خوشبندی وجود داشته باشد، تعداد متغیرهای هر ذره برابر $d \times (k+1)$ خواهد بود، چون هر ذره شامل k مرکز خوشبندی است که هر یک از آنها خود دارای d بعد هستند. لازم به ذکر است که d متغیر نهایی هر ذره، دارای مقادیر دودویی ۰ یا ۱، بیانگر تعداد باندهای انتخاب شده یا نشده است. به این ترتیب اگر مقدار متغیر برابر صفر باشد، آن بعد در نظر گرفته نمی‌شود و اگر مقدار متغیر یک باشد آن بعد برای آن ذره در نظر گرفته نمی‌شود. در خصوص جزء

۲-۳-۲- روشن پیشنهادی (حل همزمان خوشبندی و انتخاب باندهای بهینه)

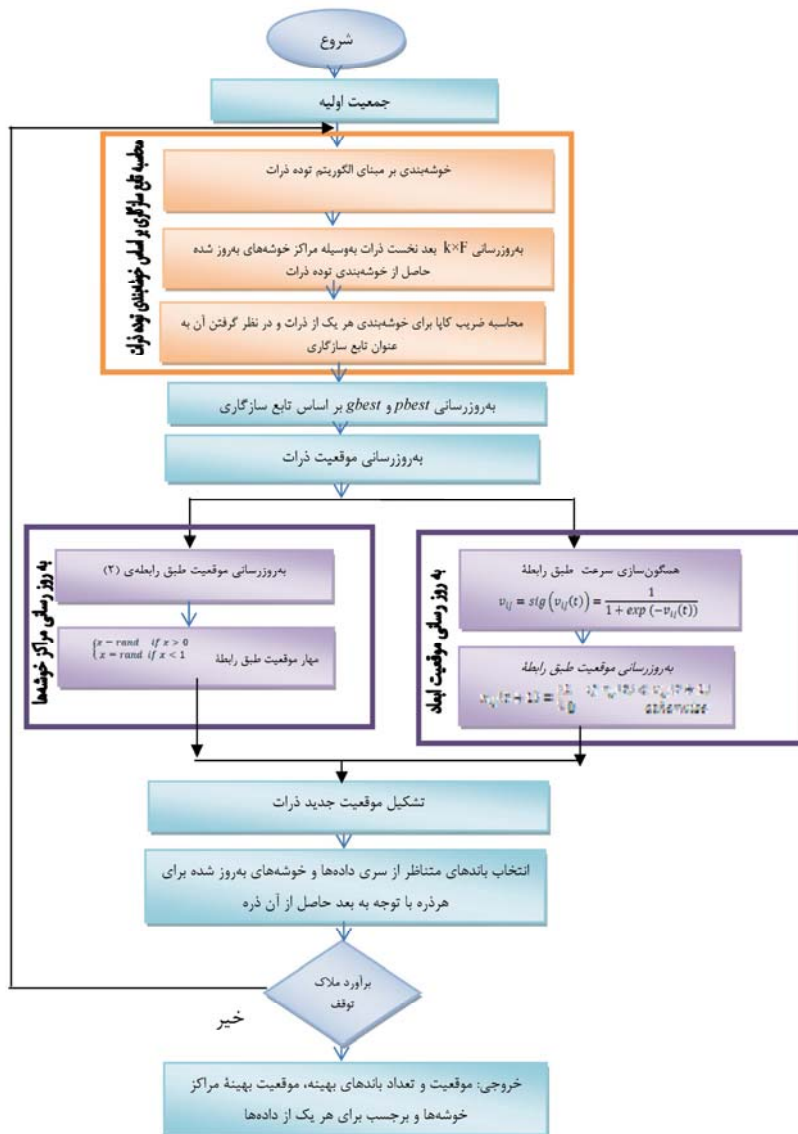
در این روش به طور همزمان به حل مسئله خوشبندی و نیز انتخاب باندهای بهینه در تصاویر فراتلیفی پرداخته می‌شود. به این منظور از الگوریتم بهینه‌سازی توده ذرات استفاده می‌شود. همان‌طور که قبلاً نیز ذکر شد، در هر مسئله بهینه‌سازی ارائه شده در ساختار الگوریتم توده ذرات بایستی دو جزء اساسی موقعیت ذرات و تابع سازگاری تعریف گردد. از آنجا که مسئله خوشبندی مورد نظر در اینجا شامل پیدا کردن موقعیت بهینه مراکز خوشبندی و تعداد بهینه باندهای تصویر است، بنابراین هر ذره برداری است که به وسیله همهٔ این متغیرها کدگذاری می‌شود. نمایشی از موقعیت یکی از این ذرات در شکل ۲ آورده شده است.

یعنی $w\text{-kappa}$ نشان‌دهنده دقیقت خوشبندی داده‌ها با توجه به زیرمجموعه‌های باندهای انتخاب شده است و بخش دوم رابطه زیرمجموعه‌های باندهای انتخاب شده به وسیله هر ذره را نشان می‌دهد؛ که به ترتیب به کمک پارامتر w و $(1-w)$ وزن دار می‌گردد. F در اینجا تعداد کل باندها را نشان می‌دهد. نحوه عملکرد این الگوریتم در شکل ۳ آورده شده است.

اساسی دیگری که تابع سازگاری است در این روش تابع مذکور به صورت رابطه (۵) تعریف می‌شود:

$$\text{رابطه (5)} \\ F = w(1 - \text{kappa}) + (1 - w) \frac{\sum_{i=k+1}^{(k+1)\times d} p(l,i)}{F}$$

همان‌طور که در رابطه (۵) نشان داده شده، تابع سازگاری شامل دو قسمت است: بخش یکم این رابطه



شکل ۳. حل همزمان خوشبندی و انتخاب باندهای بهینه تصویر فراتصیفی به وسیله الگوریتم توده ذرات



شکل ۴. (الف) نقشه واقعیت زمینی (ب) ترکیب رنگی منطقه

مورد مطالعه و همچنین نقشه واقعیت زمینی منطقه داده شده است (Mojaradi et al., 2008).

این داده دارای ۲۲۰ باند طیفی با پهنای باند ۱۰ نانومتر است و در محدوده طیفی $0.45 / 0.74$ میکرومتر تصویربرداری شده است. ابتدا ۲۰ باند در محدوده جنوبی آب و ۱۵ باند نویزدار از مجموع باندهای این داده حذف شده است و ۱۸۵ باند باقیمانده در الگوریتم‌های مورد بحث مورد استفاده قرار گرفت (Mojaradi et al., 2008).

از بین کلاس‌های ممکن، پنج کلاس اشاره شده در جدول ۱ استفاده می‌شود. دلیل انتخاب این پنج کلاس توزیع نسبتاً مناسب طیفی و فضایی پیکسل‌های مربوط به این کلاس‌ها بوده است (Jia and Richard, 2007).

جدول ۱. اندازه خوشبندی داده‌ها برای پنج کلاس

نام کلاس	تعداد نمونه
۱ ذرات کاشته شده در زمین بدون شخم	۱۴۳۴
۲ درختزار	۷۴۷
۳ یونجه دروشده و خشک شده	۴۸۹
۴ لوبیای کاشته شده در زمین بدون شخم	۹۶۸
۵ جنگل	۱۲۹۴

۴-۲- داده‌های فراتریفی مورد استفاده

به منظور ارزیابی روش پیشنهادی، قطعه تصویری که از منطقه شمال غربی ایندیانا به وسیله سنجنده AVIRIS با قدرت تفکیک بیست متر در سال ۱۹۹۲ دریافت شده است، مورد استفاده قرار گرفت. این داده دارای ۱۶ کلاس پوشش زمینی است. از آنجا که کلاس‌های واقع در این قطعه شباهت طیفی نسبتاً بالایی دارند، این داده‌ها برای پژوهشگران به عنوان داده‌هایی چالش برانگیز و مرجع به منظور ارزیابی الگوریتم‌های پیشنهادی در زمینه طبقه‌بندی، خوشبندی و کاهش ابعاد فضای اطلاعات مطرح است (Camps-Valls et al., 2007). از آنجا که داده‌ها در ابتدای تابستان برداشت شده‌اند، اکثر محصولات به بیشترین رشد و پوشش زمینی شان نرسیده‌اند، بنابراین انرژی اندازه‌گیری شده در این داده‌ها فراتریفی هم حاصل از محصولات است و هم از خروجی خاک، رطوبت خاک و علفهای هرز به دست می‌آید (Mojaradi et al., 2008).

در چنین شرایطی طبقه‌بندی به موضوعی چالش برانگیز بدل می‌شود. در شکل ۴ ترکیب رنگی کاذبی از باندهای شماره ۲ (قرمز)، ۱۶۹ (سیز) و ۲۱۱ (آبی) از تصویر

سنجهش از دور، هدف از خوشبندی رسیدن به کلاس‌هایی با ویژگی‌های تعیین شده است، استفاده از داده‌های واقعیت زمینی امری ناگزیری است. برای ارزیابی نتایج خوشبندی در این تحقیق، از شاخص‌های ضریب کاپا (k) و دقت کلی (OA) استفاده شده است. این دو شاخص که از شاخص‌های پرکاربرد در ارزیابی‌های خوشبندی و طبقه‌بندی تصاویر سنجش از دور هستند (TSO and Mather, 2009) در گروه شاخص‌های خارجی ارزیابی دقت قابل طبقه‌بندی هستند (Congalton and Green, 2009). هر دوی این شاخص‌ها با استفاده از ماتریس خطای محاسبه می‌شوند اما ضریب کاپا در مقایسه با معیار دقت کلی برآورده‌کننده بهتری بهشمار می‌آید، به این دلیل که ضریب کاپا بیشتر از معیار دقت کلی، تابع دقت خوشبندی هر یک از کلاس‌هاست (Carletta, 1996). در این مقاله نیز برای هر یک از کلاس‌ها شاخص صحت^۱ برای بررسی استفاده شده است.

$$\hat{k} = \frac{N \sum_{i=1}^r x_{ii} - \sum_{i=1}^r (x_{i+} \times x_{+i})}{N^r - \sum_{i=1}^r (x_{i+} \times x_{+i})} \quad \text{رابطه (6)}$$

$$k_i = \frac{N \times x_{ii} - x_{i+} \times x_{+i}}{N \times x_{i+} - x_{i+} \times x_{+i}} \quad \text{رابطه (7)}$$

در رابطه (6) \hat{k} ، ضریب کاپا و در رابطه (7) k_i ، شاخص صحت برای هر یک از کلاس‌هاست. در این روابط همچنین r شماره سطر یا ستون در ماتریس خطای x_{ii} ، عضو (i,i) از ماتریس خطای x_{i+} و x_{+i} به ترتیب مجموع اعضای غیر قطر اصلی سطر i و ستون i و N مجموع تمام مشاهدات است (Congalton and Green, 2009).

-
1. Normalization
 2. Internal
 3. Relative
 4. External
 5. Ground truth
 6. Khat index

۲-۵- مرحله پیش‌پردازش

در این تحقیق قبل از پیاده‌سازی مدل‌های خوشبندی، همسان‌سازی^۱ داده‌ها انجام شده است. مزیت اصلی این کار در آن است که از تأثیر داده‌ها در باندهای با محدوده عددی بالاتر بر روی داده‌ها با محدوده عددی پایین‌تر جلوگیری می‌شود. مزیت دیگر آن جلوگیری از پیچیده شدن محاسبات به دلیل تنظیم پارامترهای الگوریتم توطه ذرات است. برای مثال می‌توان به پارامترهای مربوط به محدودیت سرعت و مکان اشاره کرد که در صورت همسان‌سازی داده‌ها به راحتی می‌توان از خروج موقعیت مراکز خوشبندی از محدوده مورد بررسی جلوگیری کرد.

همچنین برای بررسی نحوه عملکرد روش پیشنهادی در استخراج باندهای فراتصیفی، الگوریتم‌های خوشبندی FCM و توطه ذرات بعد از به کارگیری مرحله کاهش ابعاد بر اساس ده مؤلفه اول اصلی تولیدشده به وسیله آنالیز مؤلفه‌های اصلی نیز به کار گرفته شدند. دلیل انتخاب این ده مؤلفه این است که با توجه به مقدار ویژه‌های اندازه‌گیری شده در محاسبات عناصر اصلی، این ده مؤلفه اصلی دارای درصد از محتوای اطلاعاتی داده اصلی هستند. ۹۹/۸۱

۶-۲- معیارهای ارزیابی خوشبندی

شاخص‌های ارزیابی خوشبندی را می‌توان بر اساس سه معیار متفاوت داخلی^۲، نسبی^۳ و خارجی^۴ تعریف کرد. شاخص‌های داخلی، برازش بین ساختار آشکارشده بین خوشبندی و داده را ارزیابی می‌کنند. شاخص‌های نسبی، ساختارهای چندگانه را با هم مقایسه می‌کنند (برای مثال خوشبندی تولیدشده به وسیله الگوریتم‌های مختلف) و تصمیم می‌گیرند که کدامیک دارای عملکرد بهتری هستند. شاخص‌های خارجی، عملکرد خوشبندی را به وسیله تناظریابی ساختار خوشبندی با یکسری اطلاعات از پیش تعیین شده به نام برچسب‌های کلاسی صحیح اندازه‌گیری می‌کنند (که اغلب به عنوان حقیقت زمینی^۵ در نظر گرفته می‌شود (Jain et al., 1999)). از آنجا که در

حل همزمان خوشبندی و تعیین باندهای بهینه داده‌های فراتیفی با استفاده از الگوریتم بهینه‌سازی توده ذرات

مشخص می‌شود، نخست خوشبندی داده‌های مورد نظر به دقت بالاتری می‌رسد و دوم با توجه به عملکرد خوشبندی، تعداد باندهای بهینه بهمنظور استخراج داده‌ها مشخص می‌شود (جدول ۳). در نتیجه در این حالت ضمن اینکه دقت خوشبندی بیشتر خواهد شد، به دلیل انتخاب باندهای بهینه، از حجم داده‌های فراتیفی نیز کاسته می‌شود. بعد از روش پیشنهادی، PSO، با مقدار ضریب کاپای ۲۴/۲۲ دقت بالاتری در مقایسه با روش‌های دیگر دارد، و بعد از آن kmeans-PCA و PSO-PCA دارای عملکرد مناسبی هستند و نهایتاً الگوریتم FCM-PCA با میزان ضریب کاپای ۶۵/۹۴ در مقایسه با روش‌های دیگر دارای دقت پایین‌تری است.

دلیل عملکرد نسبتاً بهتر الگوریتم خوشبندی PSO در مقایسه با PSO-PCA آن است که خوشبندی PSO به تمام فضای داده‌ها و جستجو در آنها دسترسی دارد، در حالی که فضای داده‌های الگوریتم PSO-PCA محدود است. اما از آنجا که فضای داده‌های روش PSO-PCA بر اساس آنالیز مؤلفه‌های اصلی قرار دارد، باندهای انتخاب شده دارای بیشترین اطلاعات تصویر هستند و به همین دلیل دقت این روش تفاوت چندانی با روش PSO ندارد. از آنجا که داده‌های مورد بررسی هم پوشانی ندارند، طبیعی است که الگوریتم فازی این مطالعه (FCM-PCA) عملکرد پایین‌تری در مقایسه با kmeans+PCA و PSO+PCA دارد.

۳- بحث و نتیجه‌گیری

۳-۱- تنظیم پارامترها

در مطالعه حاضر در خصوص پارامترهای مورد استفاده بهوسیله الگوریتم توده ذرات، از نتایج تحقیقی استفاده شد که در آن نقش پارامترهای مختلف این الگوریتم در خوشبندی مورد بررسی قرار گرفته است (Omran, 2004). لازم به ذکر است که پژوهشگران مختلف و متعددی نتایج این الگوریتم را مورد استفاده قرار Samadzadegan and Naeini, 2011, Paoli et al., 2009 داده‌اند (al., 2009). در مطالعه حاضر در نهایت از پارامترهایی که در جدول ۲ آمده‌اند برای روش‌های خوشبندی مبتنی بر الگوریتم توده ذرات استفاده شده است.

۳-۲- ارزیابی نتایج

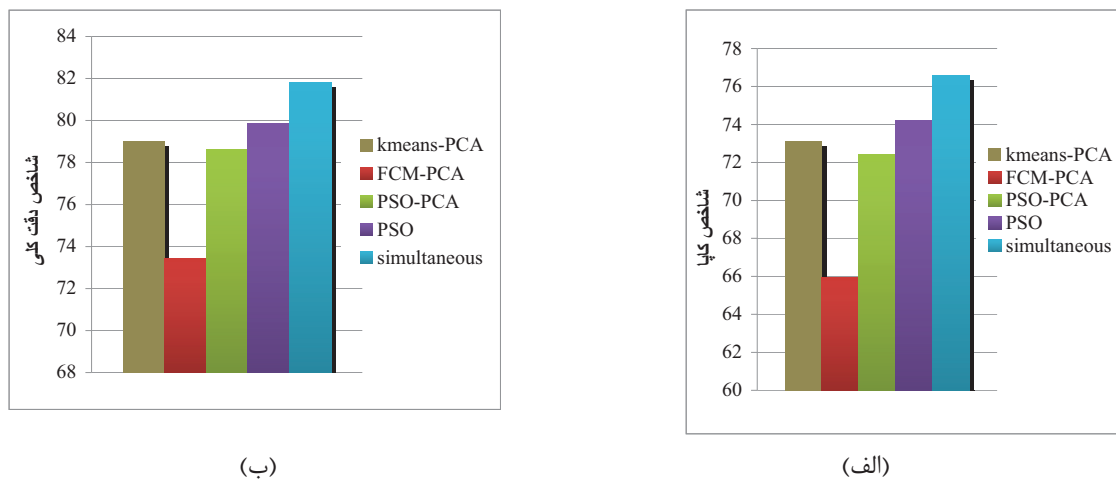
برای ارزیابی روش پیشنهادی، از ضریب کاپا، شاخص صحت و معیار دقت کلی استفاده شد. در شکل‌های ۵ و ۶ به ترتیب مقدار ضریب کاپا و شاخص صحت برای روش‌های مختلف نشان داده شده است. همان‌طور که در شکل ۵ مشخص است، روش پیشنهادی (Simultaneous)، با مقدار ضریب کاپای ۷۶/۵۷ و معیار صحت کلی ۸۱/۸۱ دارای عملکرد بسیار بهتری در مقایسه با روش‌های kmeans-PCA، FCM-PCA و PSO است. از آنجا که در الگوریتم پیشنهادی، بهطور همزمان با خوشبندی و با توجه به معیار ارزیابی آن (یعنی ضریب کاپا)، باندهای بهینه نیز

جدول ۲. پارامترهای استفاده شده در روش‌های مختلف

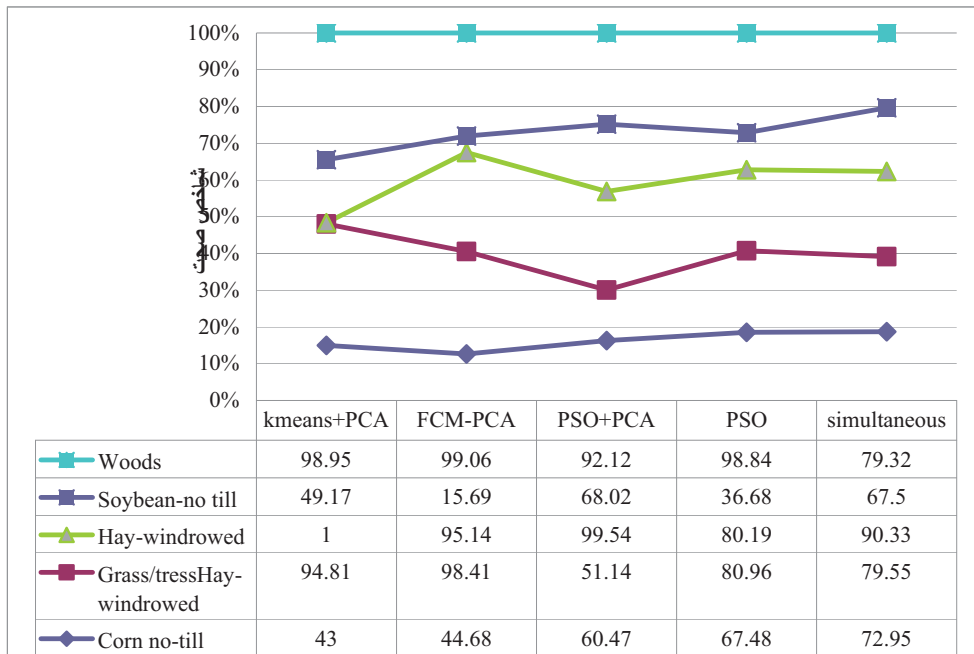
پارامترهای استفاده شده در روش‌های مبتنی بر الگوریتم توده ذرات	
۱۰۰	تعداد تکرار
۲۰	تعداد ذرات
۰/۷۲	W
۱	C _۱
۱	C _۲
پارامترهای استفاده شده در روش kmeans	
۱۰۰	تعداد تکرار
پارامترهای استفاده شده در روش FCM	
۱۰۰	تعداد تکرار
۲	پارامتر فازی‌ساز

جدول ۳. دقت طبقه‌بندی (K) و (OA) و باندهای انتخاب شده بر مبنای سه الگوریتم فرآبتكاری پیشنهادی

	تعداد باندها	کاپا	صحت کلی
Kmeans+PCA	۱۰	۷۳/۱۳	۷۹/۰۳
FCM+PCA	۱۰	۶۵/۹۴	۷۳/۴۲
PSO+PCA	۱۰	۷۲/۴۲	۷۸/۶۳
PSO	۱۸۵	۷۴/۲۲	۷۹/۸۵
Simultaneous	۸۱	۷۶/۵۷	۸۱/۸۱



شکل ۵. (الف) مقایسه مقادیر کاپای روش پیشنهادی با دیگر روش‌ها، (ب) مقایسه دقت کلی روش پیشنهادی با دیگر روش‌ها

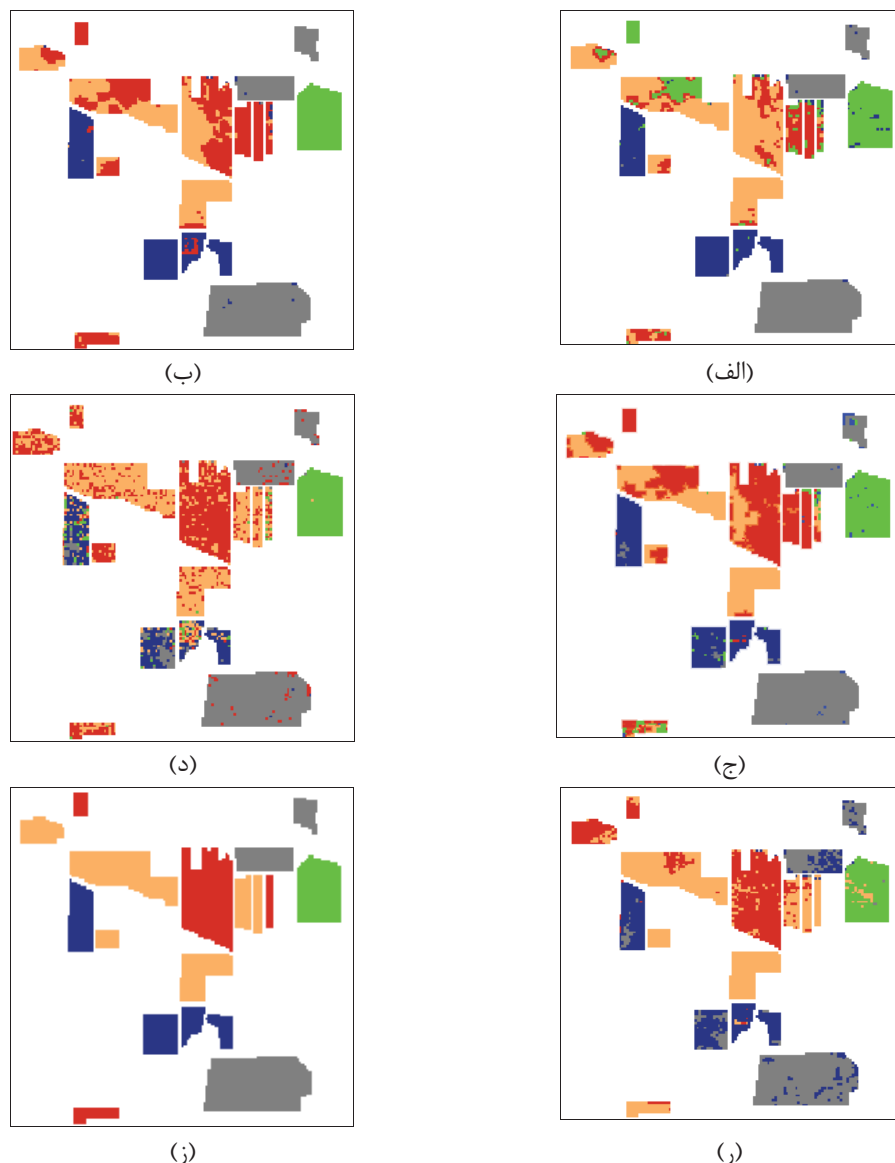


شکل ۶. مقادیر شاخص صحت برای خوشه‌بندی بهوسیله هر یک از روش‌های مورد بررسی در این تحقیق

حل همزمان خوشبندی و تعیین باندهای بهینه داده‌های فراطیفی با استفاده از الگوریتم بهینه‌سازی توده ذرات

استخراج روش‌های مختلف با هم برابر است. نگاشت‌های طبقه‌بندی شده حاصل از روش‌های PSO, FCM+PCA, simultaneous kmeans+PCA و PSO به ترتیب در شکل‌های ۷-الف تا ۷-ر آورده شده است.

به منظور بررسی بصری، نتایج حاصل از خوشبندی روش‌های مختلف در شکل ۷ آورده شده است. با توجه به شکل حاصل از خوشبندی و میزان شاخص صحت (شکل ۶) مشخص است که روش خوشبندی پیشنهادی به خوبی قادر به تشخیص کلاس‌های مختلف بوده است؛ به گونه‌ای که دقیق



شکل ۷. نتایج حاصل روی داده‌های فراطیفی دریافت شده بهوسیله سنجنده AVIRIS. نگاشت‌های طبقه‌بندی حاصل از روش‌های (الف) FCM، (ب) PSO+PCA، (پ) simultaneou simultaneously kmeans+PCA، (د) PSO، (ج) kmeans و (ز) نقشه واقعیت زمینی مربوط به آن منطقه

۵- منابع

- AVIRIS image Indian Pine Test Site, 1992,
<http://cobweb.ecn.purdue.edu/~biehl/MultiS pec/hyperspectral.html>.
- Ambroise, C., Sèze, G., Badran, F. & Thiria, S., 2000, **Hierarchical Clustering of Self-organizing Maps for Cloud Classification**, Neurocomputing, 30, 47-52.
- Bezdek, J. C. & Hathaway, R. J., 1994, **Optimization of Fuzzy Clustering Criteria Using Genetic Algorithms**, In: Evolutionary Computation, IEEE World Congress on Computational Intelligence, Proceedings of the First IEEE Conference on, 27-29 Jun, 589-594.
- Bezdek, J. C., Keller, J. M., Krishnapuram, R. & Pal, N. R. (eds.), 2005, **Fuzzy Models and Algorithms for Pattern Recognition and Image Processing**, Springer.
- Bilgin, G., Erturk, S. & Yildirim, T., 2008, **Unsupervised Classification of Hyperspectral-Image Data Using Fuzzy Approaches That Spatially Exploit Membership Relations**, Geoscience and Remote Sensing Letters, IEEE, 5, 673-677.
- Camps-Valls, G., Bandos Marsheva, T. & Zhou, D, 2007, **Semi-Supervised Graph-Based Hyperspectral Image Classification**, Geoscience and Remote Sensing, IEEE Transactions on, 45, 3044-3054.
- Canty, M. J. & Nielsen, A. A., 2006, **Visualization and Unsupervised Classification of Changes in Multispectral Satellite Imagery**, International Journal of Remote Sensing, 27, 3961-3975.

الگوریتم پیشنهادی این تحقیق در مقایسه با الگوریتم پیشنهادی پائولی و همکاران دارای محاسبنی است؛ نخست اینکه الگوریتم پیشنهادشده در تحقیق از روش‌های آماری برای تخصیص پیکسل‌ها به کلاس‌ها استفاده نمی‌کند، و در نظر گرفتن توزیع نرمال برای داده‌های فراتیفی - آن گونه که در روش پیشنهادی پائولی و همکاران استفاده شده است - نتایج ضعیفی را به همراه خواهد داشت (Manolakis and Marden, 2002). دیگر اینکه در اینجا برخلاف روش پائولی به منظور نشان دادن عملکرد بهتر الگوریتمش داده‌های اشتباہی را به عنوان واقعیت زمینی در نظر گرفته - از داده‌های واقعیت زمینی اصلی برای ارزیابی نتایج استفاده شده است.

۴- نتیجه‌گیری

در مقاله حاضر روش جدیدی برای خوشه‌بندی داده‌های فراتیفی ارائه شده است. با استفاده از این روش می‌توان به طور همزمان مسئله خوشه‌بندی و انتخاب باندهای بهینه را حل کرد. همچنین در این روش از میان روش‌های مختلف خوشه‌بندی مانند پارامتریک و سلسله‌مراتبی، روش خوشه‌بندی جزء‌بندی انتخاب شده، که حجم محاسباتی آن کمتر از روش‌های مذکور است، بنابراین برای داده‌های فراتیفی با حجم بالا بسیار مناسب به نظر می‌رسد.

نتایج نشان دادند که روش خوشه‌بندی پیشنهادی، علاوه بر آنکه داده‌ها را با دقتی بهتر از چهار روش PSO و PSO+PCA، FCM+PCA، kmeans+PCA بخش‌بندی می‌کند، حجم داده‌ها را نیز متناسب با روش خوشه‌بندی و یا به عبارت دیگر گروه‌بندی داده‌های مورد استفاده کاهش می‌دهد؛ در صورتی که در سه روش FCM+PCA، kmeans+PCA اگر چه ابعاد داده‌ها بر اساس تحلیل مؤلفه‌های اصلی کاهش پیدا می‌کند، اما چون این کاهش متناسب با هدف مورد نظر - یعنی خوشه‌بندی - نیست، نمی‌تواند دقت خوشه‌بندی را بهبود ببخشد.

- Carletta, J., 1996, **Assessing Agreement on Classification Tasks: The Kappa Statistic**, Computational linguistics, 22, 249-254.
- Chang, C., I (ed.), 2007, **Hyperspectral Data Exploitation: Theory and Applications**, John Wiley & Sons, Inc.
- Congalton, R. G. & Green, K., 2009, **Basic Analysis Techniques. Assessing the Accuracy of Remotely Sensed Data : Principles and Practices**, 2 ed.: CRC Press.
- Del Valle, Y., Venayagamoorthy, G. K., Mohagheghi, S., Hernandez, J. C. & Harley, R. G., 2008, **Particle Swarm Optimization: Basic Concepts, Variants and Applications in Power Systems**, Evolutionary Computation, IEEE Transactions on, 12, 171-195.
- Eberhart & Yuhui, S., 2001, **Particle Swarm Optimization: Developments, Applications and Resources**, In: Evolutionary Computation, 2001. Proceedings of the 2001 Congress on, 2001 2001. 81-86 vol. 1.
- Engelbrecht, A. P., 2005, **Fundamentals of Computational Swarm Intelligence**, Wiley Chichester, UK.
- Ghosh, A., Mishra, N. S. & Ghosh, S., 2011, **Fuzzy Clustering Algorithms for Unsupervised Change Detection in Remote Sensing Images**. Information Sciences, 181, 699-715.
- Jain, A. K., 2010, **Data Clustering: 50 Years Beyond K-means**, Pattern Recognition Letters, 31, 651-666.
- Jain, A. K., Murty, M. N. & Flynn, P. J., 1999, **Data Clustering: a Review**, ACM computing surveys (CSUR), 31, 264-323.
- Jensen, R., 2004, **Combining Rough and Fuzzy Sets for Feature Selection**. Ph.D. University of Edinburgh.
- Jia, X. & Richards, J. A., 2007, **Hyperspectral Data Representation**, In: CHANG, C., I (ed.) Hyperspectral Data Exploitation: Theory and Applications. John Wiely and sons, inc.
- Kennedy, J. & Eberhart, R., 1995, **Particle Swarm Optimization**, In: IEEE Int. Conf. Neural Netw. (ICNN), Piscataway, NJ: IEEE, 1942-1948.
- Kuo, B. C., Huang, H. Y., Liu, H. & Tseng, S. C., 2008, **A Novel Fuzzy C-Means Method for Hyperspectral Image Classification**, In: Geoscience and Remote Sensing Symposium, 2008. IGARSS 2008. IEEE International, 7-11 July, 1002-1005.
- Lee, S. & Crawford, M. M., 2004, **Hierarchical Clustering Approach for Unsupervised Image Classification of Hyperspectral Data**, In: IGARSS, Anchorage, AK., IEEE, 941-944.
- Liu, H., Pei, T., Zhou, C. & Zhu, A. X., 2008, **Multi-temporal MODIS-data-based PSO-FCM Clustering Applied to Wetland Extraction in the Sanjiang Plain**, In: International Conference on Earth Observation Data Processing and Analysis, Wuhan, China 7285, 72854Z.

- Manolakis, D. & Marden, D., 2002, **Non Gaussian Models for Hyperspectral Algorithm Design and Assessment**, In: IGARSS, IEEE, 1664-1666, vol. 3.
- Mojaradi, B., Emami, H., Varshosaz, M. & Jamali, S., 2008, **A Novel Band Selection Method for Hyperspectral Data Analysis**, The International Archives of the Photogrammetry, Remote Sensing and Spatial Information Sciences, 37.
- Omran, M., Engelbrecht, A. P. & Salman, A., 2005, **Particle Swarm Optimization Method for Image Clustering**, International Journal of Pattern Recognition and Artificial Intelligence, 19, 297-322.
- Omran, M. G. H., 2004., **Particle Swarm Optimization Methods for Pattern Recognition and Image Processing**, Ph.D. University of Pretoria.
- Paoli, A., Melgani, F. & Pasolli, E., 2009, **Clustering of Hyperspectral Images Based on Multiobjective Particle Swarm Optimization**, Geoscience and Remote Sensing, IEEE Transactions on, 47, 4175-4188.
- Pham, D., Otri, S., Afify, A., Mahmuddin, M. & Al-Jabbouli, H., 2001, **Data Clustering Using the Bees Algorithm**. In: 40th CIRP international manufacturing systems seminar, 2007.
- Runkler, T. A., 2005, **Ant Colony Optimization of Clustering Models**, International journal of intelligent systems, 20, 1233-1251.
- Runkler, T. A. & Katz, C., 2006, **Fuzzy Clustering by Particle Swarm Optimization**, In: Fuzzy Systems, 2006 IEEE International Conference on, 601-608.
- Samadzadegan, F. & Naeini, A. A., 2011, **Fuzzy Clustering of Hyperspectral Data Based on Particle Swarm Optimization**, In: Hyperspectral Image and Signal Processing: Evolution in Remote Sensing (WHISPERS), 2011 3rd Workshop on, 6-9 June, 1-4.
- Selim, S. Z. & Alsultan, K., 1991, **A Simulated Annealing Algorithm for the Clustering Problem**, Pattern Recognition, 24, 1003-1008.
- Tso, B. & Mather, P. M., 2009, **Pattern Recognition Principles**, Classification Methods For Remtely sensed Data. 1 ed.: CRC Press.
- Xu, R. & Wunsch, D., 2005, **Survey of Clustering Algorithms**, Neural Networks, IEEE Transactions on, 16, 645-678.
- Zhong, Y., Zhang, L., Huang, B. & Li, P., 2006, **An Unsupervised Artificial Immune Classifier for Multi/hyperspectral Remote Sensing Imagery**, Geoscience and Remote Sensing, IEEE Transactions on, 44, 420-431.